

Diversité des gisements d'or des ceintures de roches vertes et implications pour l'exploration

François Robert
FR Geo-consult

MERC
AT THE MUSÉE NATIONAL DES SCIENCES DE LA TERRE



Xplor | Montréal | 29 Octobre 2024

3

Contenu



- **Mise en contexte**
 - Distribution de l'or
 - Évolution des ceintures
- **Diversité de style de minéralisation**
 - Modèles descriptifs
- **4 exemples de différents styles**
 - Parmi un spectre
- **Contrôles et guides d'exploration**
 - Régional au local
- **Place de l'or dans l'évolution**
 - Points importants

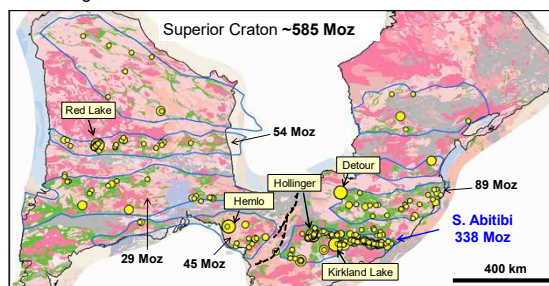
F. Robert | Atelier-AEMQ | 29 oct. 2024

4

L'or dans le Supérieur (et autres cratons!)

MERC
AT THE MUSÉE NATIONAL DES SCIENCES DE LA TERRE

- Gisements des domaines spécifiques
 - +300 km long, 50-75 km large
 - Ceintures de roches vertes
- Distribution hétérogène
- 1 domaine domine le budget aurifère
 - Abitibi Sud = 60% de l'or
- **Qu'y a-t-il de spécial??**
 - Préservation = un des facteurs



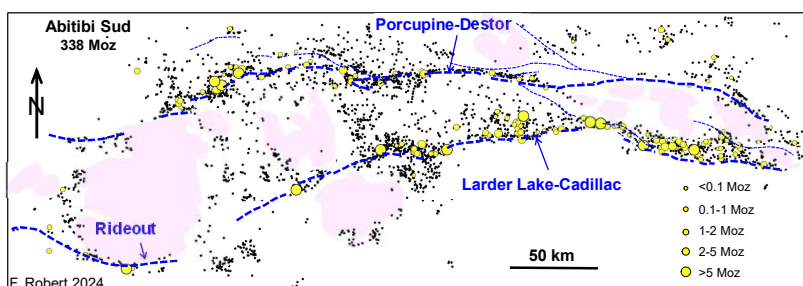
F. Robert | Atelier-AEMQ | 29 oct. 2024

5

L'or dans les ceintures

MERC
AT THE MUSÉE NATIONAL DES SCIENCES DE LA TERRE

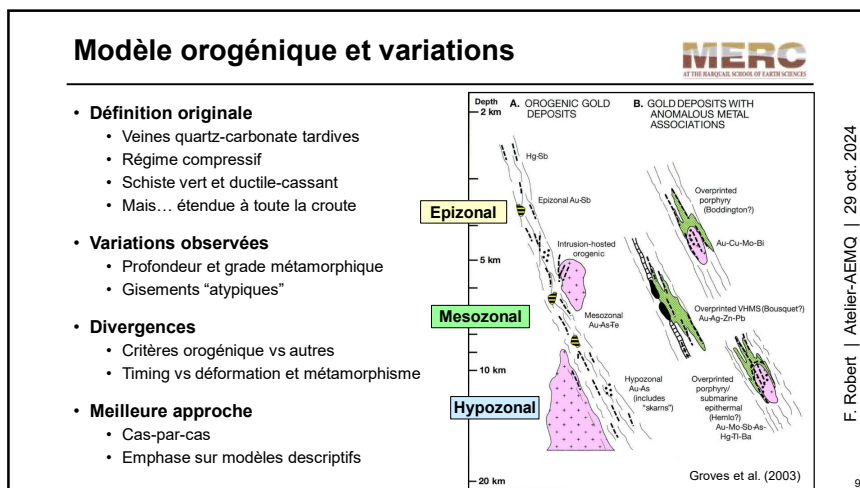
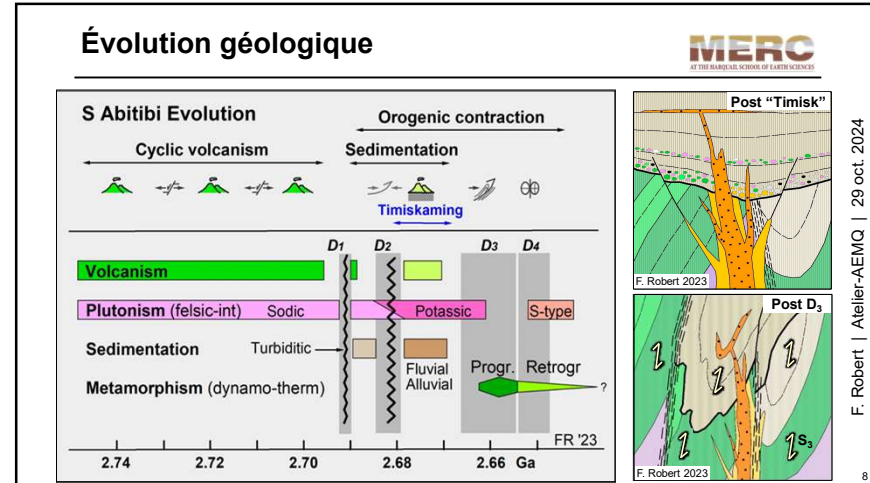
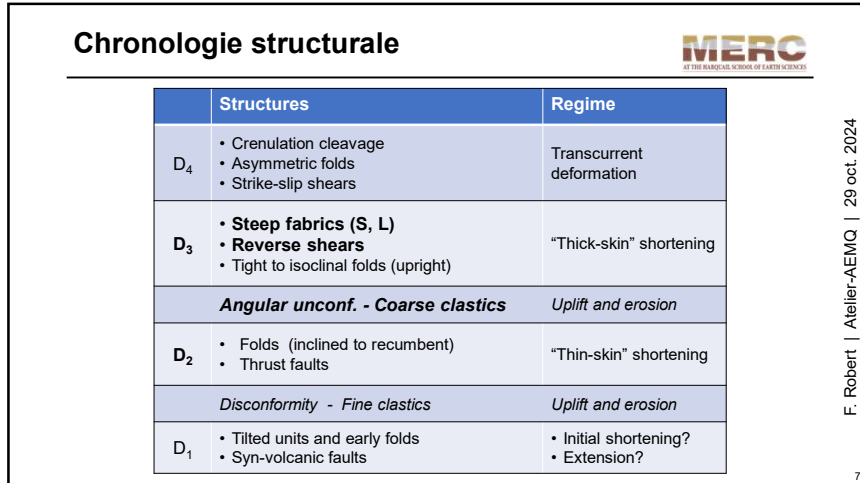
- **Indices et petits gisements**
 - Distribution vaste
 - Sauf batholites granitiques
- **Gisements importants:**
 - Localisés: près des failles régionales
 - Regroupés (camps)



F. Robert 2024

F. Robert | Atelier-AEMQ | 29 oct. 2024

6



Diversité d'altération

MERC AT THE MARQUIS SCHOOL OF EARTH SCIENCES

- Ankérite-sérécite (veines)
 - Carbonates zonés
 - Biotite @ amphibolite inf.
- Albite-carbonate +/- hem-anh-ba (diss-stockw)
- Kspar-ser-carb (diss-stckw)
- Qz-ser-py (filons riches en sulfures)
- Diversité de fluides!**

Hollinger, Abitibi | Windfall, Abitibi

Felds K

Hemlo, Wawa

11

F. Robert | Atelier-AEMQ | 29 oct. 2024

11

Diversité de timing

MERC AT THE MARQUIS SCHOOL OF EARTH SCIENCES

Kanowna Belle, WA (A. Ross) | 5 mm

Hemlo, Wawa | 1 cm

Giant, Yellowknife | S₃

First Canadian, Val d'Or | S₃

Doyon, Bousquet | 1 cm

12

F. Robert | Atelier-AEMQ | 29 oct. 2024

Modèles géologiques proposés

MERC AT THE MARQUIS SCHOOL OF EARTH SCIENCES

- Groupes avec attributs récurrents
- 3 modèles dans un continuum

Filons orogéniques

- Veines qz-cb; failles inverses, plis, unités compétentes

WACKE-SHALE

SULFIDE BODY

QZ-CB VEIN

BIF GRANITOID SHEAR

Brittle - Ductile

Epizonaux assoc. Intrusions

- Zones disséminées & stockworks
- Veines et brèches épizonales

Veins, Lodes

Dissem, replac, Stockw zones

Holl-Lighting

Windfall

Eleonore

Hemlo

F. Robert 2023

SMV aurifères

- Lentilles sulfures massifs
- Filons riches en sulfures

Massive sulfide

Stringer zone

Rhyolite dome

Chlorite

Sericite-silica Al-silicate

Sulfidic veins

Subvolcanic intrusion

Poulson et. al. (2000)

13

F. Robert | Atelier-AEMQ | 29 oct. 2024

13

Veines quartz-carbonate (orogéniques)

MERC AT THE MARQUIS SCHOOL OF EARTH SCIENCES

Caractéristiques

- Veines qz-cb et sulfures des épontes
- Carb-ser-py alteration
- Cisaillements inverses, plis, unités compétentes
- Schiste vert à amphibolite inf. (brittle-ductile)

Setting

- Régime en contraction (D₃ et D₂?)
- Profondeur crustale: moyenne à faible

WACKE-SHALE

SULFIDE BODY

QZ-CB VEIN

Brittle - Ductile

Perron, Abitibi

N S

Tonalite

Diorite

Lupin, Slave

Po Apy

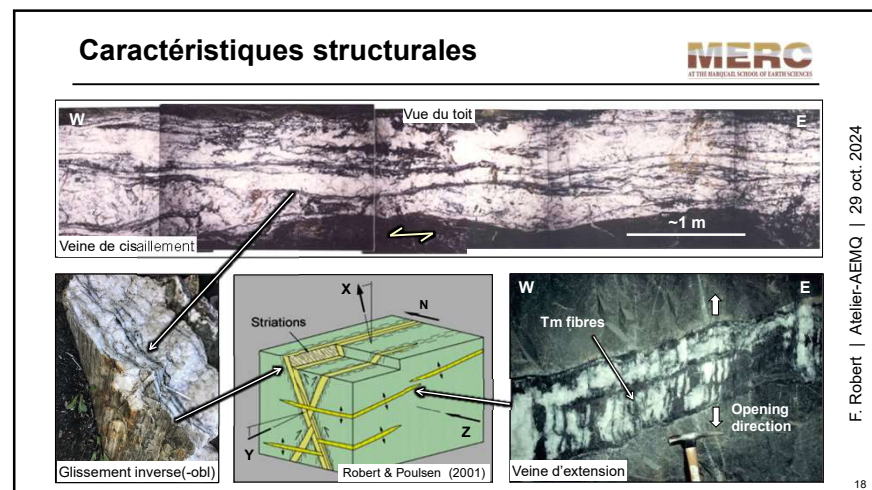
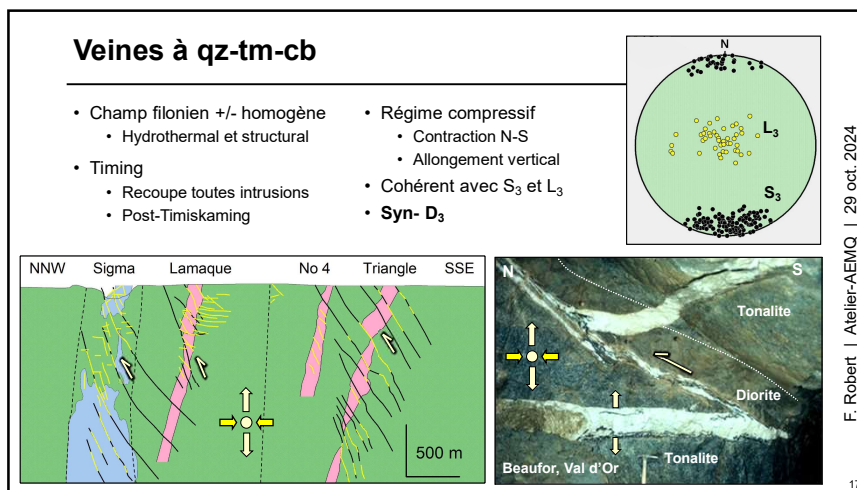
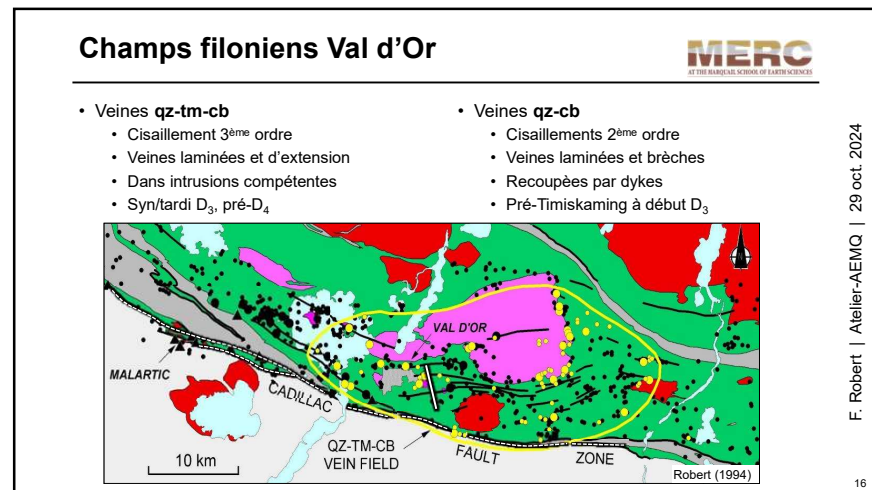
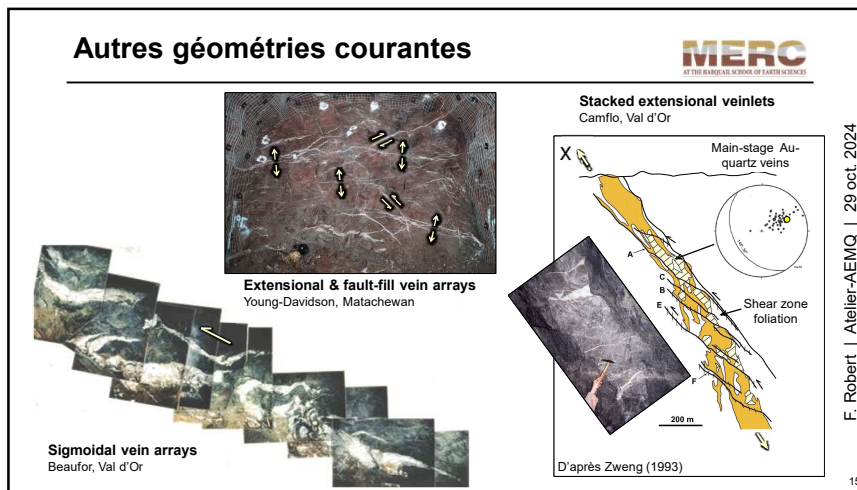
BIF GRANITOID SHEAR

Qz vein

Poulson et. al. (2000)

14

F. Robert | Atelier-AEMQ | 29 oct. 2024



Veines de qz-cb

MERC AT THE BARREAU SCHOOL OF EARTH SCIENCES

- Dans cisaillements 2^{ème} ordre (D1-2?)
- Veines laminées, brèches et stockworks.
- Pas de veines horizontales ni tourmaline
- Recoupées par dykes et veines qz-tm-cb
- Souvent déformées
- Pré-Timiskaming (<2692 Ma)

Kiena
First Canadian
Ferderber
SW NE N S
Shear zone
2692 ± 2 Ma
Diorite ore
Komatiite
Basalt
Tonalite
Narlartite
30 m
Couture et al. (1994)
19

F. Robert | Atelier-AEMQ | 29 oct. 2024

19

Siscoe (0.9Moz @ 9.2 g/t)

MERC AT THE BARREAU SCHOOL OF EARTH SCIENCES

- Dans stock diorite à qz
- Veines qz-cb inverses
- Recoupées par
 - Dykes albítite et diorite
 - Veines qz-tm-cb

SISCOE MINE
W E
QUARTZ-CARBONATE VEIN
ALBITITE DYKE
MAFIC DYKE
PROJECTED
100 m
W E
QTC veins
F. Robert | Atelier-AEMQ | 29 oct. 2024
20

20

Epizonaux associés aux intrusions

MERC AT THE BARREAU SCHOOL OF EARTH SCIENCES

- Setting**
 - In/around high-level intrusions
 - Many near unconformity
- Mineralization: common features**
 - Stockwork-disseminated, sulfidic or quartz lodes
 - Epizonal textures
 - Fspar-carb-ser (hem, anh)
 - Te, Sb, Mo, V, F, Ba; $\delta^{34}\text{S}$ py < -5‰
 - Many with zoning
 - Different fluid involved?
- Structure & timing**
 - Common pre- & post-mineral intrusions
 - S_3 overprinting; cut by flat veins
 - Syn/late volcanic to syn-Timiskaming

Veins / Lodes Dissem - replac. Stockwork
Kirkland Lake Holt-Lighting Windfall Beaver Eleonore Beattie Hemlo
F. Robert 2023
500 m
F. Robert | Atelier-AEMQ | 29 oct. 2024
21

21

Canadian Malartic (14.5 Moz @ 1.34 g/t)

MERC AT THE BARREAU SCHOOL OF EARTH SCIENCES

- Setting**
 - Wacke-mudstone & high-level monzonites
 - Fault splay and F_3 fold
- Mineralization**
 - Diss-stockwork & sheeted-bx veins
 - Kspar-biotite → ser-carb
 - Large SWIR white mica footprint

Greywacke ore
FP porphyry ore
Sheeted lode
De Souza et al. (2020)
Stadeen
S0
Fig. 6A
500 m
Shaft of past-producing mine
Projection to surface of intrusion
at altitude 50, 0 and +100m
Dike and sile Fault
S0/Sheeted lode, upright, inverted;
overprinted
De Souza et al. (2020)
F. Robert | Atelier-AEMQ | 29 oct. 2024
22

22

Relations structurales

- Mineralization in
 - D_3 structures (F_3 axial planes)
 - Along folded intrusion contacts
 - Cut by flat extensional veins
- Timing: early D_3**

Sladen F N
S 0
 S_3
De Souza et al. (2017)
F. Robert | Atelier-AEMQ | 29 oct. 2024

East West
Extensional veins
From B. Dubé
23

23

Hemlo, Wawa (26.5 Moz @ 4.6 g/t)

- Setting**
 - Around QFP in sedimentary rocks
 - High strain, amphibolite-grade
- Mineralization**
 - Veinlet, disse., banded py-mo
 - Feldspar → ser-carb
 - Ba, V, As, Sb, Hg, Te
 - Oxidized fluid

Fsp Alt'n Cedar Ck F
Hemlo F
1 km
Poulsen et al. (2020)
Baritic ore, py-mo
Feldspathic ore, py-mo
93 R 37
3.9 g/t 5.2 g/t 3.4 g/t
1 km
F. Robert | Atelier-AEMQ | 29 oct. 2024

WW SSE
10000 L 9000 L 9450 Level
L3 Ab Ab+Ksp Ksp Ab+Ksp
24

24

Relations structurales

- Mineralization is deformed
 - Transposed by S_3
 - Cut by barren dykes overprinted by S_3
 - Cut by orogenic veins
- Timing: pre- D_3**

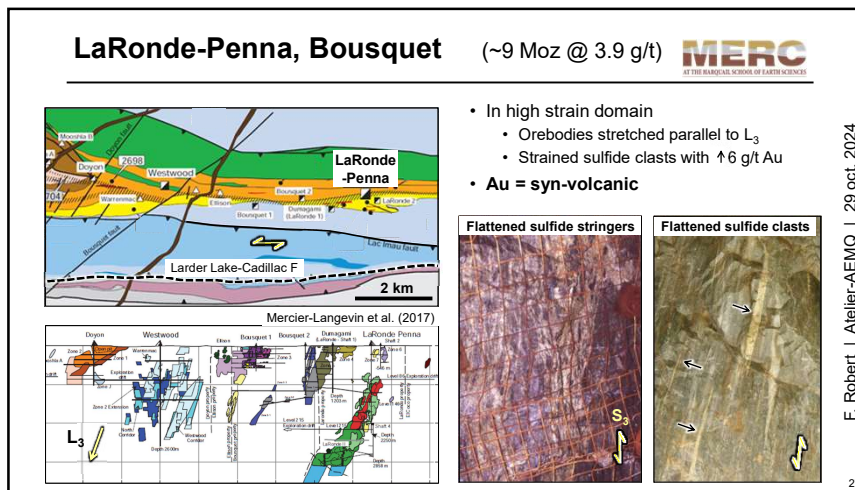
MERC
Py-mo Late- / post-ore aplite dyke
 S_3
Py-mo
Mo-py veinlets
Calc-silicate Wacke
FSP-MO
 S_3
N S
34 g/t Au
Au-Zn-Ag massive sulfide; LaRonde-Penna
F. Robert | Atelier-AEMQ | 29 oct. 2024
25

25

SMV aurifères

- Mineralization**
 - Sulfide lenses & stringers zone
 - Quartz-ser-pyr → chlorite
 - Ag, Cu, Zn, Pb +/- Te, Sb
- Setting**
 - Top of cycle; felsic domes & volcanics
 - Near subvolcanic intrusion

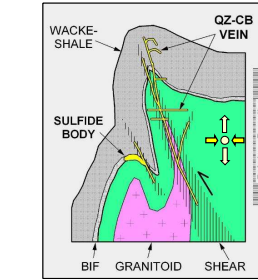
Massive sulfide Rhyolite dome
Stringer zone Qz-ser-py Chlorite
Sulfidic veins
Subvolcanic intrusion
Au-Cu sulfide stockwork; Bousquet 2
N S
34 g/t Au
Au-Zn-Ag massive sulfide; LaRonde-Penna
F. Robert | Atelier-AEMQ | 29 oct. 2024
From Poulsen et al. (2000) and Dubé et al. (2014)
26



Modèles géologiques / d'exploration

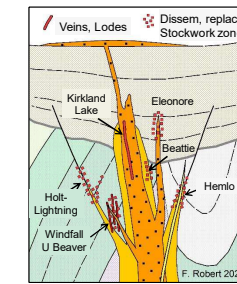
Veines qz-cb orogéniques

- Veins with reverse shears
- Mid-crustal, contractional
- Late-stage



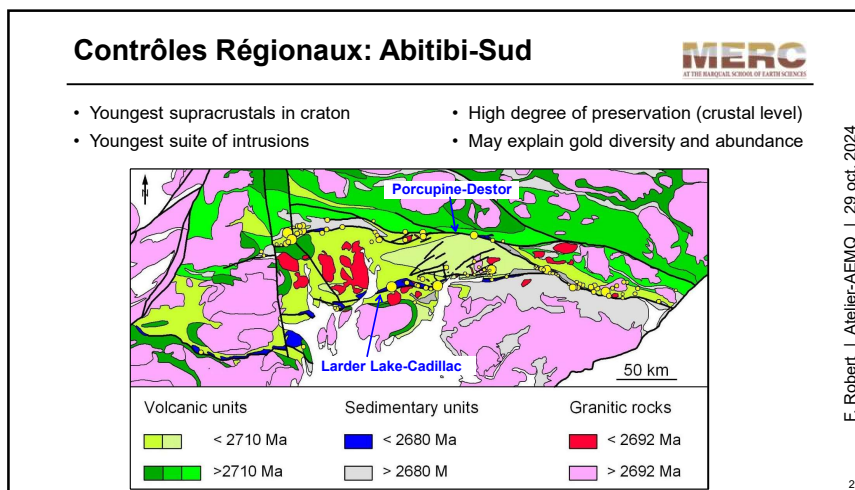
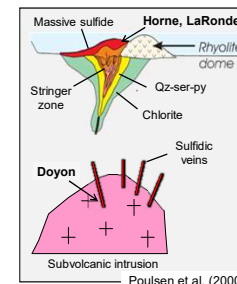
Hypabyssaux I-A

- Dissem - stockw - lodes
- High-level, extensional?
- "Early", overprinted



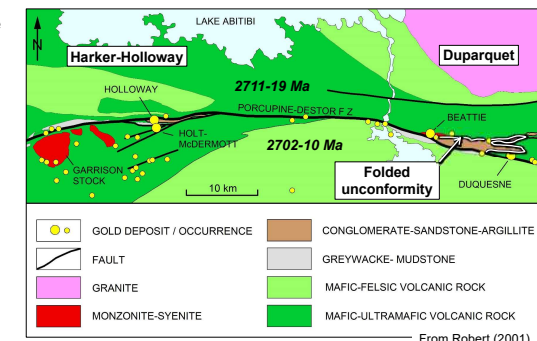
Synvolcanic Au-VMS

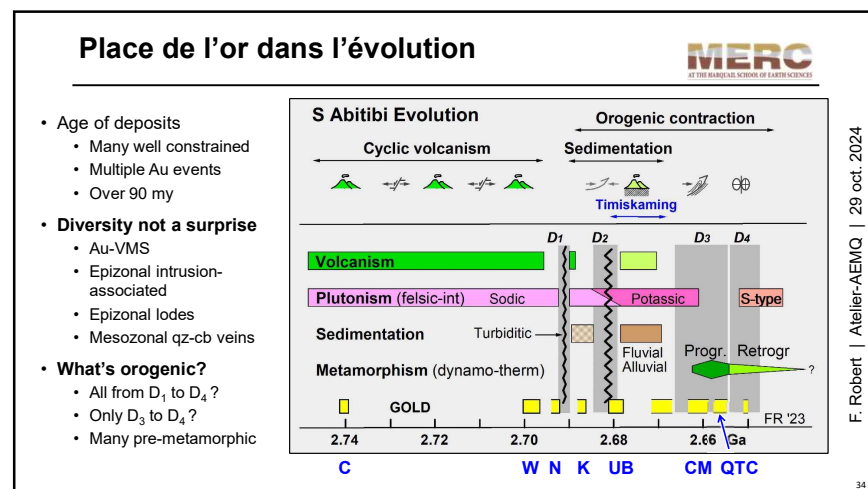
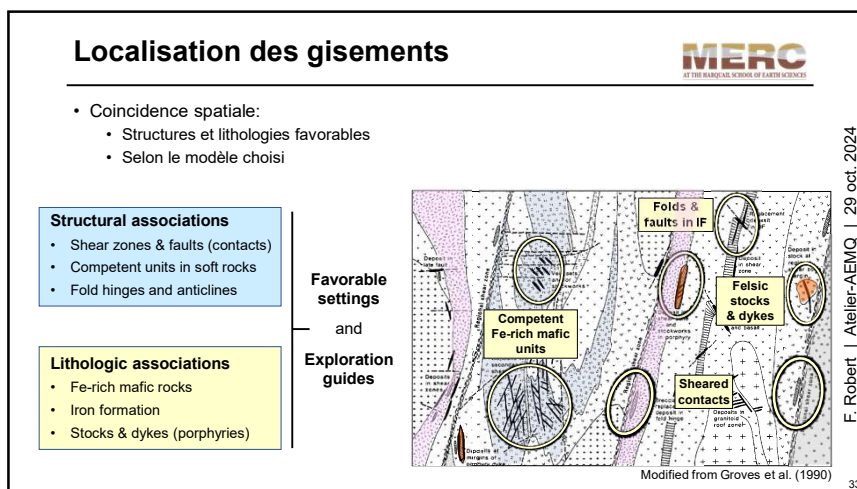
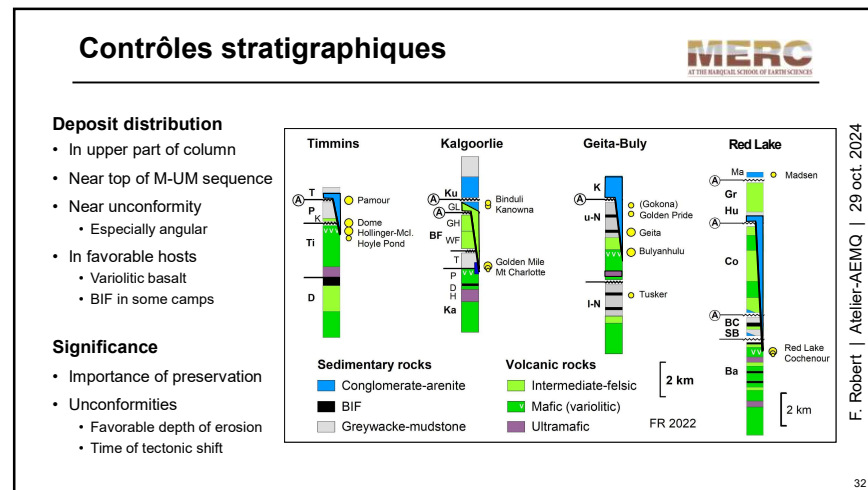
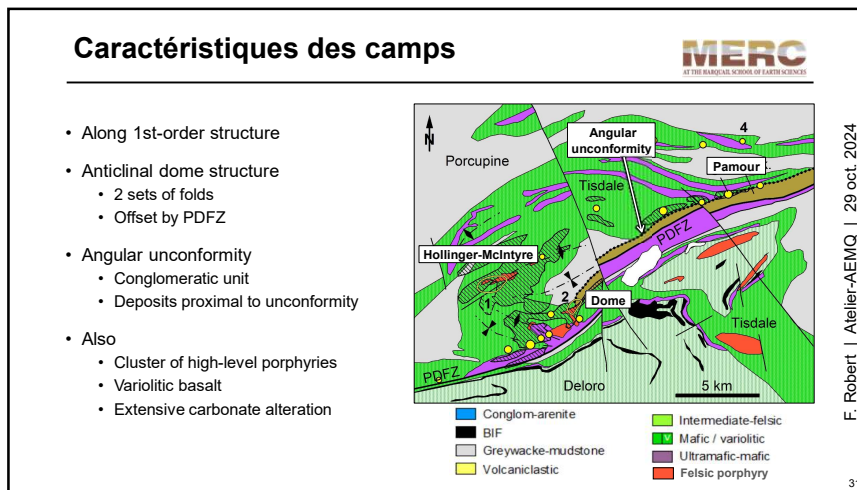
- Au sulfide lenses & veins
- Submarine setting
- Syn-volcanic

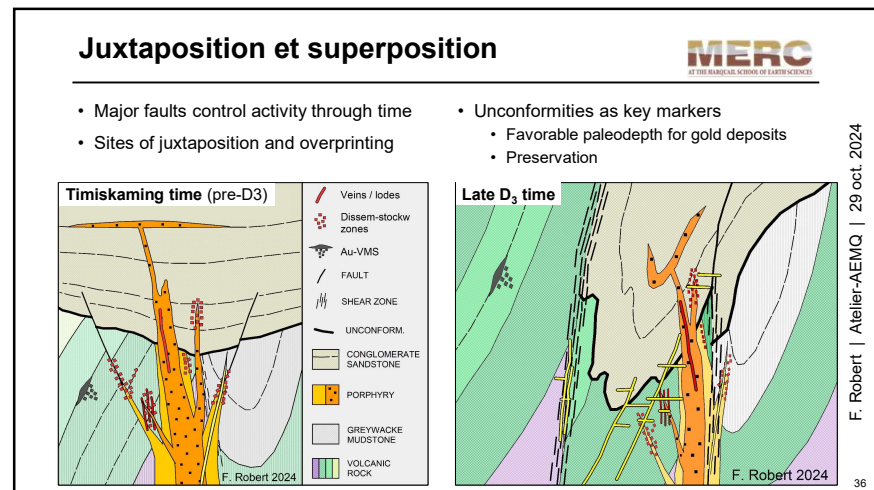
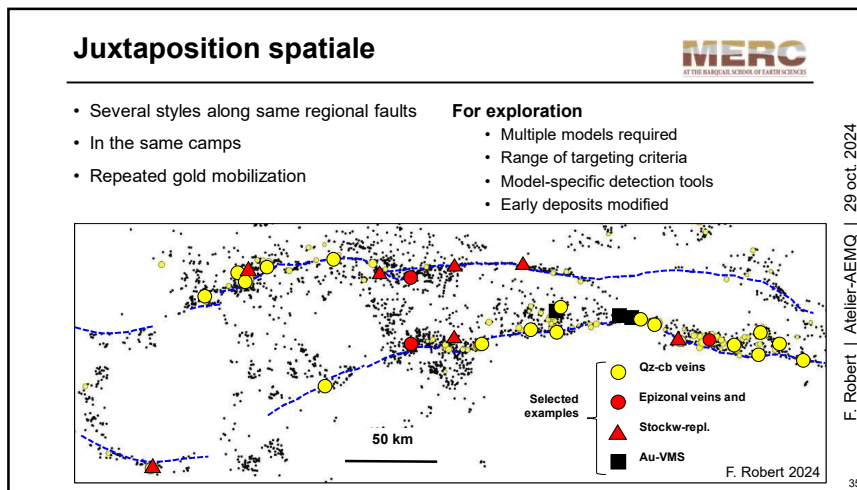


Localisation des camps

- Along 1st-order structure
 - At bends in strike
 - Splay intersections
 - Domain /age boundary
- Angular unconformity
 - Conglomeratic unit
- Also
 - Clusters of high-level intrusions
 - Variolitic basalt







Points essentiels

MERC
AT THE MUSÉE NATIONAL DES SCIENCES DE LA TERRE

Diversité de style	Base essentielle	Définition de cible
<ul style="list-style-type: none"> Variations orogéniques + différents types Modèles multiples à considérer 	<ul style="list-style-type: none"> Observations de terrain Analyse rigoureuse 	<ul style="list-style-type: none"> Connaitre géologie & évolution Modèle pertinent Prédire contrôles, géométrie et modifications Connaitre l'empreinte et caractéristiques spécifiques
Histoire de l'or	Stratigraphie	
<ul style="list-style-type: none"> Ponctuée sur +90 Ma Gisements anciens sont modifiés 	<ul style="list-style-type: none"> Clé de la structure Contrôles importants 	
Interprétation		
<ul style="list-style-type: none"> Gisement au cas-par-cas Basée sur des faits Attributs structuraux et hydrothermaux 		

F. Robert | Atelier-AEMQ | 29 oct. 2024

37